

# تشخیص روابط هندسی - هیدرولیکی سطح قطعه رودخانه‌ها با استفاده از حل معکوس معادلات سنت - ونانت و کاربرد آن

سode کلامی (دانش آموخته کارشناسی ارشد)

مهدي مظاهري \* (استاديار)

جمال محمدولی سامانی (استاد)

گروه سازه‌های آبی، دانشکده کشاورزی، دانشگاه تربیت مدرس

مهندسي عممان شريف، (جمهوري ۱۳۹۸)، شماره ۲، ص ۳۳-۴۲

پژوهش حاضر، با ارائه یک مدل ریاضی، روابط هندسی - هیدرولیکی مستخرج از مقاطع عرضی یک رودخانه طبیعی را با استفاده از حل معکوس معادلات سنت - ونانت و بدون برداشت داده‌های پژوهشی مقاطع آن شناسایی کرده است. روابط مذکور می‌توانند به عنوان ورودی در انواع مدل‌های رودخانه، مانند: روندیابی هیدرولیکی، هیدرولیک رسوب، انتقال آلاینده و غیره، استفاده شوند. داده‌های تراز سطح آب نسبت به زمان، به عنوان ورودی به مدل معکوس حاضر هستند. صحبت عملکرد مدل ارائه شده با استفاده از دو مثال فرضی واقعی ارزیابی شده است. در هر دو مثال ذکر شده، پس از شناسایی روابط اخیر و مقایسه با حالت واقعی، روندیابی سیل در رودخانه با استفاده از روابط شناسایی شده انجام و با روش‌های روندیابی هیدرولیکی و هیدرولوژیکی (ماسکینگام) مقایسه شد. نتایج حاصل از ارزیابی انجام شده، توانایی مدل مذکور را در شناسایی روابط هیدرولیکی و به کار بردن آن در انواع مدل‌های شبیه‌سازی رودخانه تأیید می‌کند.

s.kalami@modares.ac.ir  
m.mazaheri@modares.ac.ir  
samani.j@modares.ac.ir

وازگان کلیدی: معادلات سنت - ونانت، مدل معکوس، مساحت سطح قطعه، پیرامون مرطوب، عرض آزاد سطح آب.

## ۱. مقدمه

است و یا پارامترهایی که امکان اندازه‌گیری مستقیم آن‌ها وجود ندارد، مهم‌ترین کاربرد مسائل معکوس به شمار می‌رون. داده‌های مقاطع عرضی رودخانه از مهم‌ترین داده‌هایی هستند که به عنوان ورودی در بیشتر مدل‌های: هیدرولیکی، هیدرولیک رسوب، انتقال آلاینده و شبیه‌سازی زیستگاه آبزیان استفاده می‌شوند و نقش اساسی در طراحی، برنامه‌ریزی، مدیریت و ساماندهی رودخانه دارند و برداشت آن‌ها به دلیل نیاز به انجام عملیات نقشه‌برداری بسیار سخت، پرهزینه و البته زمان بر است. پدیده‌ی همیشگی فرسایش و رسوب‌گذاری در رودخانه و به تبع آن، تغییرات مقاطع عرضی باعث تجدید عملیات نقشه‌برداری می‌شود و هزینه‌ها را دو چندان می‌کند. پک مقطع عرضی رودخانه، شامل مجموعه‌ی از نقاط به مختصات  $x$  و  $y$  است، که  $x$  فاصله از ساحل چپ و  $y$  تراز ارتفاعی نقاط را نشان می‌دهد. پارامترهای «مساحت قطعه»، «پیرامون مرطوب» و «عرض آزاد سطح آب» از مقاطع عرضی به دست می‌آیند و به عنوان ورودی در سایر مدل‌های هیدرولیک رودخانه استفاده می‌شوند. به عبارت ساده‌تر، مختصات اخیر، نقاط مقاطع عرضی نیستند که وارد محاسبات مدل‌های هیدرولیکی می‌شوند، بلکه پارامترهای هیدرولیکی مستخرج از مجموعه نقاط مذکور هستند که به عنوان ورودی در محاسبات استفاده می‌شوند. پارامترهای هیدرولیکی مستخرج با وجود عمق آب درون مقطع معنی پیدا می‌کنند و با افزایش عمق آب، روابط

مسائل معکوس در سال ۱۶۷۳ میلادی توسط هویگنس<sup>۱</sup> پیشنهاد و سپس پژوهش گران زیادی در بسیاری از زمینه‌های علمی از آن‌ها استقبال کرده‌اند.<sup>[۱]</sup> بیشتر مسائلی که به این طریق بحث می‌شوند، جزء مسائل بدختیم هستند. در مسائل بدختیم، وجود خطاهای کوچک در داده‌های اندازه‌گیری شده، موجب خطای بزرگی در پاسخ مسئله خواهد شد. از طرف دیگر، مسائل معکوس ممکن است اصلاً جواب نداشته باشند، یا به نهایت جواب داشته باشند و یا این‌که به جواب واحدی همگرا نشوند.<sup>[۲]</sup> به همین دلیل، حل مسائل معکوس باید از طریق روش‌های عددی پیشرفته و استفاده از الگوریتم‌های قوی بهینه‌سازی انجام شود. در حقیقت، مسئله‌ی معکوس یک فرآیند محاسباتی است، که از طریق مجموعه‌ی از داده‌های مشاهداتی، پارامترهای بیان‌کننده‌ی مسئله تعیین می‌شوند. البته به شرط آن‌که فیزیک حاکم بر مسئله کاملاً شناخته شده باشد و یا به عبارت دیگر، معادلات حاکم بر مسئله معلوم باشند، زیرا که روش مذکور بر پایه‌ی معکوس کردن مدل ریاضی حاکم بر پدیده مطالعه استوار است. شناسایی پارامترهای فیزیکی، که اندازه‌گیری آن‌ها سخت و پرهزینه

\* نویسنده مسئول

تاریخ: دریافت ۱۳۹۶/۹/۱، اصلاحیه ۲۳، ۱۳۹۷/۲/۲۳، پذیرش ۱۳۹۷/۲/۳۰ DOI:10.24200/J30.2018.5455.2244

$$K = \alpha AR^\beta$$

(۳)

که در آن‌ها،  $A$  مساحت مقطع،  $y$  عمق آب،  $K$  ضریب انتقال و  $R$  شعاع هیدرولیکی هستند. همچنین چهار پارامتر  $B$ ,  $\beta$ ,  $\alpha$  و  $z$  مجہولات مورد شناسایی هستند. رودخانه‌ی موردنظر آن‌ها منشوری و با فرض منظم بودن مقطع آن در نظر گرفته شده بود.<sup>[۱۷]</sup> در سال ۲۰۰۹، عییدا<sup>۶</sup> با در نظر گرفتن دو رابطه‌ی توافقی برای روابط هیدرولیکی مساحت مقطع و ضریب انتقال (روابط ۴ و ۵)، ضرایب موجود در این روابط را با حل معکوس معادلات سنت-وانانت، در یک رودخانه‌ی منشوری و مرکب به دست آوردند.<sup>[۱۸]</sup>

$$A = ay^b$$

$$K = cy^d$$

(۴)

(۵)

که در آن‌ها،  $A$  مساحت مقطع،  $K$  ضریب انتقال و  $y$  عمق آب هستند. ووت<sup>۷</sup> و همکاران<sup>[۹]</sup>، نیز پارامترهای میانگین عرض سطح، میانگین شیب کف مجراء، میانگین ضریب زبری مانینگ، میانگین دبی در بالادست و میانگین تراز سطح آب در پایین دست یک رودخانه‌ی منظم و منشوری با سطح قطع ذوزنقه‌ی را به دست آوردند.<sup>[۱۹]</sup> همچنین در سال ۲۰۱۲، جسیز و سلیر<sup>۸</sup> با هدف شناسایی توپوگرافی کف رودخانه، اقدام به حل معکوس معادلات ناویراستوکس در حالت یک و سه بُعدی کردند و مدل پیشنهادی آن‌ها با در نظر گرفتن جریان دائمی تدوین شده بود.<sup>[۲۰]</sup> مدل مذکور به داده‌های ورودی زیادی نیاز داشت، که در عمل اندازه‌گیری چنین داده‌هایی بسیار سخت و پرهزینه است. تحقیقات اخیر در زمینه‌ی شناسایی مشخصات هندسی - هیدرولیکی رودخانه، یگانه مطالعات انجام شده به روش حل معکوس هستند، که خلاصه‌ی آن‌ها در جدول ۱ ارائه شده است. استیواردسون<sup>[۹]</sup>، نیز با بیان اهمیت موضوع هندسه‌ی مقطع رودخانه و تأثیر آن در رفتار جریان، روابط هندسی - هیدرولیکی مستخرج از مطالعات رودخانه را به عنوان تابعی از سرعت و دبی با استفاده از داده‌های اندازه‌گیری شده: سرعت، دبی، مقاطع رودخانه و سایر پارامترهای رودخانه محاسبه کردند.<sup>[۲۱]</sup> رز و همکارانش<sup>[۱۰]</sup>، نیز با روش مشابه پژوهش استیواردسون، روابط هیدرولیکی پایین دست رودخانه را به دست آوردند.<sup>[۲۲]</sup> همان‌طور که بیان شد، مطالعات انجام شده در زمینه‌ی شناسایی پارامترهای رودخانه به روش مسئله‌ی معکوس، با فرض منشوری بودن بازه و شکل مقاطع منظم صورت گرفته است، در حالی که یک رودخانه‌ی طبیعی غیرمنشوری است و البته دارای شکل مقاطع عرضی نامنظم است. در مطالعات انجام شده با فرض وجود داده‌های هم تراز سطح آب و هم دبی نسبت به زمان به عنوان داده‌های مشاهداتی، تمامی روابط هیدرولیکی مستخرج از مقاطع شناسایی نشده‌اند، بلکه به شناسایی پارامترهای محدودی بسته شده است. پژوهش جسیز و سلیر<sup>[۱۱]</sup>، نیز با فرض دائمی بودن جریان، به داده‌های مشاهداتی نیاز دارد، که اندازه‌گیری آن‌ها سخت و پرهزینه است.<sup>[۲۰]</sup> لذا پژوهش حاضر با ارائه‌ی یک مدل ریاضی مبنی بر حل معکوس معادلات سنت-وانانت، تمامی روابط هیدرولیکی مساحت مقطع، پیرامون مرتبط و عرض آزاد سطح آب را در یک رودخانه‌ی کاملاً طبیعی با مقاطع نامنظم و غیرمنشوری فقط با وجود داده‌های تراز سطح آب نسبت به زمان به عنوان داده‌های مشاهداتی شناسایی کرده است. علاوه‌بر آن، روندیابی هیدرولیکی جریان در رودخانه با استفاده از روابط هیدرولیکی شناسایی شده حاصل از حل معکوس معادلات سنت-وانانت، در رودخانه انجام و با روندیابی جریان به یک روش هیدرولوژیکی (ماسکینگام) مقایسه شده است.

هیدرولیکی را تشکیل می‌دهند؛ به طوری که با افزایش عمق آب روند افزایشی دارند و از یک رابطه‌ی ریاضی پیروی می‌کنند. در حقیقت، یک رابطه‌ی ریاضی می‌تواند گویای روند تغییرات روابط هیدرولیکی ذکر شده باشد. به نظر می‌رسد شناسایی روابط ریاضی اشاره شده با یک روش دیگر و بدون داشتن داده‌های مقاطع، می‌تواند حذف تمامی هزینه‌های یاد شده را در بی‌داشته باشد. یکی از مهم‌ترین موارد استفاده روابط هیدرولیکی مستخرج، روندیابی جریان به روش هیدرولوژیکی است، که در اغلب اوقات به دلیل فقدان داده‌های پرهزینه‌ی مقاطع عرضی رودخانه، به روش‌های غیردقیق هیدرولوژیکی انجام می‌شود. شناسایی روابط هیدرولیکی اشاره شده بدون برداشت داده‌های مقاطع و با استفاده از مدل سازی معکوس، می‌تواند مشکل روندیابی جریان به روش هیدرولیکی را نیز حل کند. حل معکوس معادلات سنت-وانانت به هدف اخذ ضریب زبری مانینگ و شرط مرزی بالادست تا به حال توسط پژوهشگران زیادی انجام و پژوهش‌های بسیار زیادی در این زمینه ثبت شده است. اما در زمینه‌ی به دست آوردن پارامترهای فیزیکی و پارامترهای معرف خصوصیات رودخانه، مطالعات اندکی وجود دارد. داتا و همکاران<sup>[۲۰۰۰]</sup>، حل معکوس معادلات سنت-وانانت را به هدف تخمین ضریب زبری مانینگ، با استفاده از مدل بهینه‌سازی SQP<sup>۳</sup> انجام داده‌اند.<sup>[۲۳]</sup> علاوه بر این، در زمینه‌ی شخصی ضریب زبری مانینگ می‌توان به برخی مطالعات اشاره کرد، که در آن‌ها ضریب زبری مانینگ در یک بازه از رودخانه تا یک شیکه‌ای پیچیده از آن با استفاده از حل معکوس معادلات سنت-وانانت به دست آورده شده است.<sup>[۴-۲۴]</sup> در بین مطالعات انجام شده در زمینه‌ی شناسایی شرط مرزی بالادست رودخانه با استفاده از حل معکوس معادلات سنت-وانانت، می‌توان به پژوهش عبدالوحید و کادھیم<sup>[۲۰۱۳]</sup> اشاره کرد. آن‌ها روندیابی معکوس سیلاپ را به وسیله‌ی حل معکوس معادلات سنت-وانانت به دو روش هیدرولیکی و هیدرولوژیکی، انجام و آن‌ها را مقایسه و ارزیابی کردند.<sup>[۴]</sup> همچنین در این زمینه مطالعات دیگری نیز وجود دارد، که در آن‌ها پژوهشگران با در نظر گرفتن شرایط متفاوت برای رودخانه و به کاربردن روش‌های مختلف حل معکوس، شرط مرزی بالادست را به دست آوردند.<sup>[۱۴-۱۵]</sup> محاسبه‌ی شرط مرزی بالادست، اصطلاحاً روندیابی معکوس سیلاپ نامیده می‌شود. شناسایی دیگر پارامترها در رودخانه با استفاده از حل معکوس معادلات سنت-وانانت، نخستین بار توسط بکر و یاه<sup>۴</sup> در سال ۱۹۷۲ انجام شد. آن‌ها ضرایب اصطکاک  $n$  و  $r$  موجود در رابطه‌ی ۱ را در یک بازه از رودخانه با سطح مقطع منظم و منشوری شناسایی کردند.

$$s = v |v| r R^{-n} \quad (۱)$$

که در آن،  $v$  سرعت جریان،  $s$  شبی خط انرژی و  $R$  شعاع هیدرولیکی است.<sup>[۱۵]</sup> آن‌ها در سال ۱۹۷۳ به منظور واقعی تر ساختن پژوهش خود، شناسایی پارامترهای مذکور را در دو بازه از رودخانه با شرایط متفاوت از یکدیگر (تفاوت در خصوصیات هندسی دو بازه) انجام دادند. رودخانه‌ی دو بازه‌یی موردنظر شناسایی آن‌ها در پژوهش مذکور نیز منشوری و منظم در نظر گرفته شده بود.<sup>[۱۶]</sup> در سال ۱۹۸۴ و میلیون و کامکم<sup>۵</sup> با اظهار این‌که خصوصیات هندسی و هیدرولیکی از مهم‌ترین پارامترهای ورودی به هر مدل شیوه‌سازی رودخانه محسوب می‌شوند و برداشت آن‌ها سخت و پرهزینه است، ضرایب موجود در روابط هیدرولیکی مساحت مقطع رابطه‌ی ۲ و ضریب انتقال رابطه‌ی ۳ را با استفاده از حل معکوس معادلات سنت-وانانت شناسایی کردند.

$$A = y (B + zy) \quad (۲)$$

جدول ۱. خلاصه‌ی پژوهش‌های انجام شده در زمینه‌ی شناسایی روابط هندسی هیدرولیکی به روش حل معکوس.

نام نویسنده	روش حل معکوس	روش حل مستقیم	الگوریتم مورد استفاده
جسیز و سلیر (۲۰۱۲)	بر مبنای تکرار	اختلاف محدود بر مبنای الگوی صریح	One-Shot
عمیده (۲۰۰۹)	بر مبنای تکرار	چهار نقطه‌ی ضمنی پرایزمن	Nelder and Mead Simplex Algorithm
ومیلتون و کامگم (۱۹۸۴)	بر مبنای تکرار	چهار نقطه‌ی ضمنی پرایزمن	الگوریتم نیوتن
بکره و یاه (۱۹۷۳)	بر مبنای تکرار	اختلاف محدود بر مبنای الگوی صریح	الگوریتم ضربی تأثیر
بکره و یاه (۱۹۷۲)	بر مبنای تکرار	اختلاف محدود بر مبنای الگوی صریح	الگوریتم ضربی تأثیر

### ۱.۳. مدل مستقیم حل معادلات جریان در رودخانه‌ها

معادلات حاکم بر جریان‌های غیردائمی در حالت یک‌بعدی، معادلات سنت-وانانت هستند. این معادلات از دو معادله‌ی پیوستگی (رابطه‌ی ۷) و موسمت (رابطه‌ی ۸) تشکیل شده‌اند.

$$\frac{\partial A}{\partial t} + \frac{\partial Q}{\partial x} = 0 \quad (7)$$

$$\frac{\partial Q}{\partial t} + \frac{\partial}{\partial x} \left( \frac{Q^2}{A} \right) + gA \frac{\partial z_w}{\partial x} + gAS_f = 0 \quad (8)$$

که در آن‌ها،  $Q$ ، دبی جریان،  $A$  سطح مقطع جریان،  $g$  شتاب ثقل،  $y$  عمق جریان،  $S_t$  شیب خط انحرافی،  $t$  زمان،  $x$  فاصله‌ی طولی در جهت جریان و  $z_w$  تراز سطح آب است.<sup>[۲۲]</sup> تدوین مدل مستقیم ملزم به حل معادلات مذکور است. حل معادلات هذلولوی معرفی شده به روش تحلیلی، جز در حالت‌های ساده شده‌ی مسئله، امکان‌پذیر نیست و حل کامل آن‌ها باید به روش عددی صورت گیرد. در حال حاضر، در مدل سازی جریان غیرماندگار در کانال‌های باز، اغلب از روش تقاضل محدود استفاده می‌شود. یکی از بهترین روش‌های تقاضل محدود، الگوی ضمنی پرایزمن<sup>[۱۲]</sup> است، که از اوایل دهه ۱۹۶۰ به طور گسترده استفاده شده است.<sup>[۱۰]</sup> در پژوهش حاضر، الگوی ضمنی پرایزمن برای یک رودخانه‌ی واقعی با هندسه‌ی نامنظم مقاطع، نگارش یافته و مدل مستقیم جریان غیردائمی در حالت یک‌بعدی تدوین شده است.

### ۲.۳. مدل معکوس حل معادلات جریان در رودخانه‌ها

شکل هندسی مقاطع عرضی در یک رودخانه‌ی طبیعی، نامنظم و در طول بازه کاملاً با هم متفاوت هستند، که این موضوع حل مسئله‌ی موردنظر را سخت تر می‌کند. در طی مطالعات گستردگی که بر روی روابط هیدرولیکی مستخرج از مقاطع نامنظم رودخانه انجام شده است، مشخص شده است که با وجود نامنظم بودن شکل مقاطع عرضی، روابط هیدرولیکی مستخرج از آن‌ها، روند تغییرات منظمی دارند. در شکل ۱، نمونه‌ی از یک مقطع عرضی رودخانه‌ی طبیعی به همراه روابط هیدرولیکی مساحت مقطع و پیرامون مرتبط آن ارائه شده است. با توجه به شکل ۱، با افزایش آب درون مقطع، مساحت مقطع و پیرامون مرتبط نیز افزایش می‌یابند و با وجود هندسه‌ی نامنظم مقطع، روند افزایشی روابط هیدرولیکی منظم است و می‌تواند از یک رابطه‌ی ریاضی تعیین کند. به عبارت دیگر، یک رابطه‌ی ریاضی می‌تواند گویای روند تغییرات روابط هیدرولیکی باشد. با توجه به آزمون‌های متعدد صورت گرفته، در مقاطع نامنظم رودخانه‌های طبیعی، روابط هیدرولیکی مستخرج از آن‌ها، روند افزایشی تقریباً مشابهی دارند و یکی از بهترین روابط ریاضی که می‌تواند گویای این روند افزایشی باشد، یک رابطه‌ی نمایی است. پژوهش حاضر، با فرض نمایی بودن روابط هیدرولیکی مساحت مقطع و پیرامون مرتبط به فرم روابط<sup>۹</sup> و<sup>۱۰</sup> به شناسایی ضرایب به کار رفته در آن‌ها پرداخته است. از آن‌جا که عرض آزاد سطح

### ۲. کاربردهای مدل معکوس ارائه شده

همان‌طورکه بیان شد، مدل معکوس ارائه شده در پژوهش حاضر، روابط هیدرولیکی مستخرج از داده‌های مقاطع را شناسایی می‌کند و آن‌ها می‌توانند در انواع مدل‌سازی هیدرولیکی، هیدرولیک رسوب، انتقال آلاند و شبیه‌سازی زیستگاه آبزیان به جای داده‌های مقاطع عرضی رودخانه استفاده شوند. یکی از مهم‌ترین کاربردهای روابط هیدرولیکی شناسایی شده، استفاده‌ی آن‌ها در روندیابی جریان به روش هیدرولیکی است. روندیابی جریان به روش هیدرولیکی به داده‌های مقاطع عرضی رودخانه نیاز دارد، که در بیشتر موارد به دلیل فقدان داده‌های مقاطع، روش‌های روندیابی به روش هیدرولوژیکی به آن‌ها ترجیح داده می‌شوند. با شناسایی روابط هیدرولیکی اخیر، می‌توان روندیابی جریان در رودخانه را با روش هیدرولیکی انجام داد، بدون این‌که داده‌های مقاطع عرضی رودخانه در دسترس باشد. در حقیقت با شناسایی روابط هیدرولیکی مذکور، دیگر نیازی به نقشه‌برداری برای برداشت داده‌های مقاطع که با گذشت زمان تغییر می‌کنند، نخواهد بود و حذف هزینه‌های گراف نقشه‌برداری را به دنبال خواهد داشت. هر مدل معکوس به مجموعه‌ی از داده‌های مشاهداتی سهل الوصول، به عنوان ورودی به مدل نیاز دارد. در مدل ارائه شده، داده‌های رقوم سطح آب نسبت به زمان در چند ایستگاه مشاهداتی، به عنوان ورودی به مدل مورد نیاز است. برداشت این داده‌ها به مراتب بسیار آسان‌تر و البته کم‌هزینه‌تر از نقشه‌برداری برای برداشت داده‌های مقاطع است.

### ۳. مبانی تئوری

در هر پدیده‌ی طبیعی اگر فیزیک حاکم بر پدیده‌ی موردنظر، کاملاً شناخته شده باشد، می‌توان مدل حاکم بر آن را شبیه‌سازی کرد. اگر فیزیک حاکم بر مسئله (G)، پارامترهای ورودی به مدل (m) و اطلاعات حاصل از این مسئله شبیه‌سازی (d) نامیده شود، می‌توان یک مسئله‌ی شبیه‌سازی را طبق رابطه‌ی ۶ بیان کرد:<sup>[۱۲]</sup>

$$G(m) = d \quad (6)$$

به طورکلی منظور از حل یک مسئله‌ی معکوس این است که اگر اطلاعات حاصل از شبیه‌سازی در دسترس باشد (d) و فیزیک حاکم بر مسئله (G) که در پژوهش حاضر معادلات حاکم بر جریان‌های غیردائمی است) به طور کامل شناخته شده باشد (G)، می‌توان مشخصات ورودی به مدل را به دست آورد. مطالعات نشان داده‌اند در زمینه‌ی حل مسائل معکوس، دو رویکرد کلی وجود دارد: ۱. روش مستقیم حل عددی و ۲. روش‌های بر مبنای تکرار یا بهینه‌سازی.<sup>[۱۰]</sup> در نوشtar حاضر، از روش دوم به منظور حل مسئله‌ی معکوس مورد نظر استفاده شده است، که در آن مدل معکوس از ترکیب دو مدل حل مستقیم معادلات حاکم بر پدیده‌ی مورد مطالعه و یک مدل بهینه‌سازی تشکیل شده است.

مرطوب در نظر گرفته می‌شود و سپس ضرایب موجود در آن‌ها شناسایی می‌شود. هر چه تعداد زیربازه‌های مورد شناسایی بیشتر باشد، دقت روابط هیدرولیکی شناسایی شده نیز بیشتر می‌شود. البته با توجه به این‌که هر مدل معکوس به مجموعه‌یی از داده‌های مشاهداتی به عنوان ورودی به مدل نیاز دارد، هر چه تعداد بازه‌های مورد شناسایی بیشتر باشد، به داده‌های مشاهداتی نیاز بیشتری است. در حقیقت، تعداد بازه‌های مورد شناسایی به دقت موردنظر و البته تعداد استگاه‌های مشاهداتی موجود در رودخانه وابسته است.

### ۳.۳. تشكیل تابع هدف و قیود بهینه‌سازی

در پژوهش حاضر، از روش بهینه‌سازی برنامه‌ریزی درجه دوم غیرخطی متوالی (SQP) <sup>۱۲</sup> به منظور تدوین مدل معکوس استفاده شده است. الگوریتم برنامه‌ریزی درجه دوم متوالی (SQP)، یکی از الگوریتم‌های محبوب و قوی بهینه‌سازی است، که به عنوان یک روش تکرار پذیر مناسب و مفید برای حل مسائل بهینه‌سازی غیرخطی شناخته شده است. روش SQP، مسئله‌ی بهینه‌سازی را به زیربخش‌هایی تقسیم می‌کند، که هر کدام یک مسئله‌ی برنامه‌ریزی درجه دوم هستند. برنامه‌ریزی درجه دوم (QP)، روشی برای کمینه‌سازی توابع  $n$  متغیره با  $m$  محدودیت خطی نامساوی یا مساوی و یا هردو است. الگوریتم روش SQP بدین صورت است که از یک نقطه شروع می‌کند و به وسیله‌ی گرادیان داده‌ها به جواب قبل قبول می‌رسد. الگوریتم SQP نیاز به نقطه‌ی شروع منطقی دارد تا به جواب قبل اطمینان برسد. اگر مسئله هیچ‌گونه محدودیت و شرطی نداشته باشد، روش مذکور به روش نیوتون کاهش پیدا می‌کند. الگوریتم SQP در هر تکرار از تقریب تابع لاگرانژ <sup>۱۵</sup> که از روش اصلاح شده‌ی نیوتون بهره می‌برد، استفاده می‌کند. سپس از طریق برنامه‌ریزی درجه دوم، مسئله را حل می‌کند. <sup>۱۶</sup> روش SQP برای مسائلی کاربرد دارد که تابع هدف آن‌ها از نوع درجه دوم و توابع قیود آن خطی باشد. مسائل برنامه‌ریزی غیرخطی در حالت کلی به صورت رابطه‌ی <sup>۱۲</sup> هستند:

$$\begin{aligned} \min_x F(x) \\ s.t. c(x) \geq 0 \end{aligned} \quad (12)$$

که در آن،  $F$  تابع هدف،  $x$  بردار مجهولات و  $c$  قید بهینه‌سازی محاسبه می‌شود. در روش مذکور ابتدا تابع هدف با ۳ جمله‌ی اول سری تیلور و توابع قیود با ۲ جمله‌ی اول سری تیلور تقریب زده می‌شوند. سپس لاگرانژین تابع هدف تقریب زده شده تشکیل می‌شود و با اعمال روش نیوتون و حل متوالی معادلات به دست آمده در تکرارهای مختلف، روش برنامه‌ریزی درجه دوم متوالی (SQP) منجر به پاسخ بهینه خواهد شد. سرعت بالای همگرایی و دست‌یابی به حل دقیق نقاط بهینه، از مزیت‌های روش مذکور است و از مهم‌ترین دلایل انتخاب روش بهینه‌سازی SQP برای حل مسئله‌ی حاضر محسوب می‌شود. فلوچارت حل معکوس معادلات سنت- وانت در شکل ۲ مشاهده می‌شود.

در هر مسئله‌ی بهینه‌سازی، تابع هدف تمام پارامترهایی را که قرار است تخمین زده شوند، شامل می‌شود و پارامترهای مورد شناسایی، ضرایب موجود در روابط هیدرولیکی خواهند بود. با توجه به روابط هیدرولیکی ارائه شده در روابط <sup>۹</sup> الی <sup>۱۱</sup>، برای هر زیربازه <sup>۴</sup> عدد مجهول وجود دارد و در صورتی که پارامتر  $n$ ، زیربازه‌ی مورد شناسایی باشد، بردار مجهولات به صورت بردار  $\{a_1, b_1, c_1, d_1, a_2, b_2, c_2, d_2, \dots, a_n, b_n, c_n, d_n\}$  خواهد بود. اندیس مجهولات، شماره‌ی زیربازه‌ی مورد شناسایی را مشخص می‌کند. برای تشکیل تابع

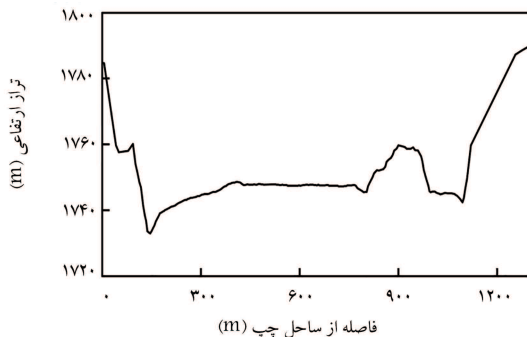
آب، مشتق رابطه‌ی مساحت مقطع است، <sup>۱۵</sup> لذا نیازی به در نظر گرفتن رابطه‌ی جداگانه برای عرض آزاد سطح آب نخواهد بود و با شناسایی پارامترهای به کار رفته در رابطه‌ی هیدرولیکی مساحت مقطع، رابطه‌ی هیدرولیکی عرض آزاد سطح آب (رابطه‌ی <sup>۱۱</sup>) نیز شناسایی می‌شود.

$$A(y) = ae^{by} \quad (19)$$

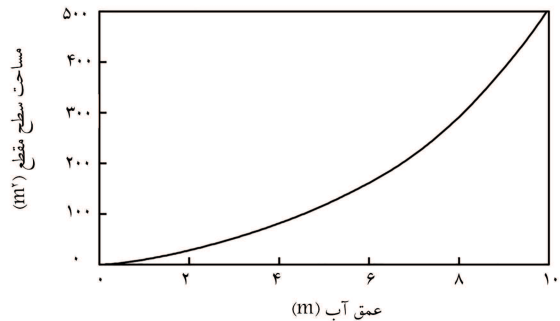
$$P(y) = c(e^{-dy} - 1) \quad (20)$$

$$T(y) = \frac{dA}{dy} = abe^{by} \quad (21)$$

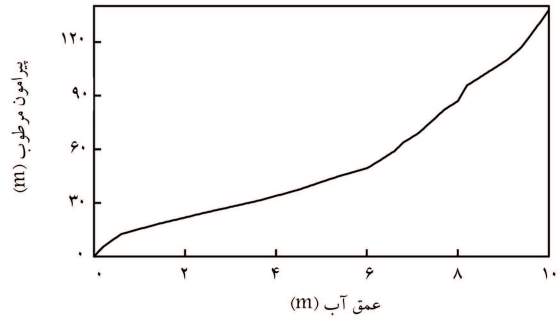
با توجه به نامنظم بودن مقاطع و تغییرات آن‌ها در هر مکان از رودخانه‌ی طبیعی، روابط هیدرولیکی مستخرج از آن‌ها در هر مکان متفاوت است. اما همان‌طور که اشاره شد، همچنان روند آن‌ها از یک رابطه‌ی نمایی پیروی می‌کند. از آن‌جا که نمی‌توان برای هر مکان یا در حقیقت هر مقطع، رابطه‌یی جداگانه در نظر گرفت (به دلیل زیاد شدن تعداد ضرایب موردنظر)، لذا ابتدا بازه‌ی رودخانه به چند زیربازه تقسیم و برای هر زیربازه، یک رابطه‌ی هیدرولیکی مساحت مقطع و پرامون



الف) نمونه‌یی از یک مقطع نامنظم؛

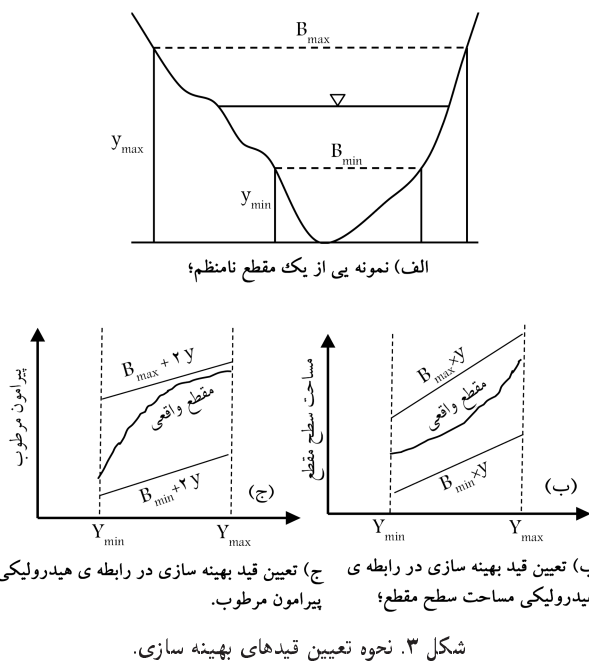


ب) رابطه‌ی هیدرولیکی مساحت سطح مقطع؛

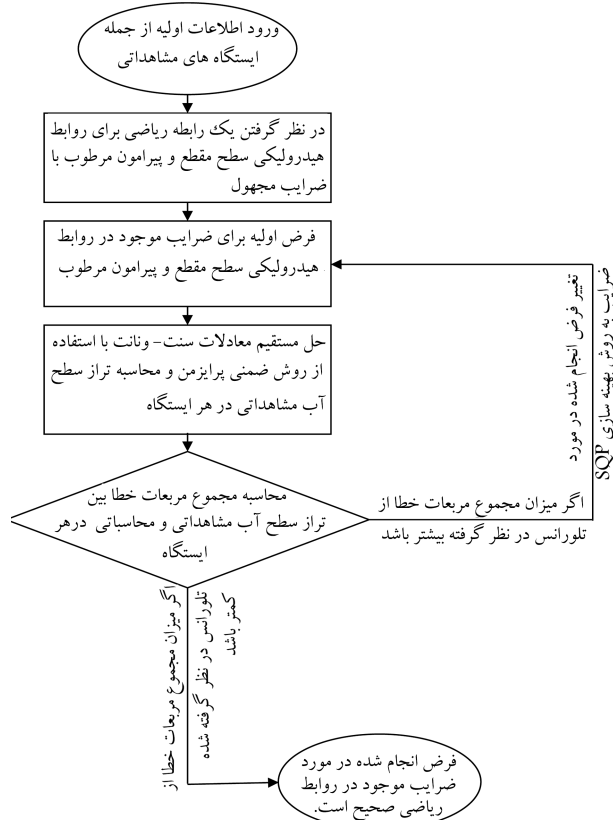


ج) رابطه‌ی هیدرولیکی پرامون مرطوب.

شکل ۱. روابط هیدرولیکی مستخرج از یک نمونه مقطع نامنظم.



مقطع و پیرامون مرطوب در مقطع واقعی بیشتر است. به همین ترتیب با داشتن عرض رودخانه در شرایط کمینه‌ی رقوم سطح آب می‌توان یک مقطع مستطیلی محاط بر مقطع واقعی تشکیل داد، که در هر عمقی مساحت مقطع و پیرامون مرطوب در مقطع مستطیلی از مساحت مقطع و پیرامون مرطوب در مقطع واقعی کمتر است. به این ترتیب حد بالا و پایین مجهولات موردنظر به دست می‌آید و به عنوان قید بهینه سازی استفاده می‌شود. با توجه به توضیحات اخیر در زمینه‌ی ختم شدن مسائل معکوس به یک مسئله‌ی بدختی، تعیین حدود مجهولات سیار مهم است؛ زیرا که با انتخاب محدوده‌های وسیع و بدون قاعده و قانون، مسئله‌ی موردنظر به پاسخ نخواهد رسید و در حقیقت بدختی خواهد شد. این تذکر لازم است که اندازه‌گیری عرض رودخانه در شرایط مذکور آسان و در دسترس است. عرض رودخانه متناسب با کمینه‌ی رقوم سطح آب، پس از وقوع سیل در هنگامی که جریان در رودخانه به حالت دائمی می‌رسد، به راحتی قابل اندازه‌گیری است. همچنین عرض رودخانه متناسب با بیشینه‌ی رقوم سطح آب، خط داغ آب سیل مذکور است، که این پارامتر نیز به راحتی در دسترس است.



شکل ۲. فلوچارت مدل معکوس ارائه شده.

هدف به داده‌های مشاهداتی نیز نیاز است. داده‌های مشاهداتی می‌توانند داده‌های دبی و یا رقوم سطح آب نسبت به زمان درون رودخانه باشند. به دلیل این که اندازه‌گیری رقوم سطح آب بسیار آسان‌تر از اندازه‌گیری دبی در رودخانه است، داده‌های رقوم سطح آب نسبت به زمان در وسط هر زیربازه‌ی موردشناصایی، به عنوان داده‌های مشاهداتی در نظر گرفته شده‌اند. به عبارت ساده‌تر، به ازاء هر زیربازه‌ی موردشناصایی باید یک ایستگاه اندازه‌گیری برداشت رقوم سطح آب وجود داشته باشد. لذا معیار تابع هدف جمع مربعات خطای میان داده‌های رقوم سطح آب مشاهداتی و محاسباتی است، که فرمولاسیون آن به صورت رابطه‌ی ۱۳ است:

$$\text{Minimize } F = \sum_{m=1}^M \sum_{n=1}^{N_m} (H_{m,n}^O - H_{m,n}^C)^2 \quad (13)$$

که در آن،  $H$  رقوم سطح آب (متر)،  $M$  تعداد زیربازه‌های موردشناصایی،  $N_m$  تعداد نقاط مشاهداتی برداشت شده در زیربازه‌ی  $m$ ،  $F$  معیار مجموع مربعات خطای،  $O$  و  $C$  نیز به ترتیب معرف مقادیر مشاهداتی و محاسباتی هستند. معیار مجموع مربعات خطای ( $F$ )، باید در مرحله‌ی بهینه‌سازی کمینه شود. قید بهینه‌سازی موردنظر است، حدود ضرایب مجهول انتخاب شده است. برای به دست آوردن قید بهینه‌سازی و یا حد بالا و پایین ضرایب مجهول، به یک مقطع بزرگ تر و یک مقطع کوچک تراز مقطع واقعی نیاز است، به طوری که هیچ اطلاعاتی نسبت به مقطع واقعی در دسترس نباشد. بدین منظور عرض رودخانه در شرایط بیشینه و کمینه‌ی رقوم سطح آب باید برداشت شود. مطابق شکل ۳، با داشتن عرض رودخانه در شرایط بیشینه‌ی رقوم سطح آب می‌توان یک مقطع مستطیلی محیط بر مقطع واقعی تشکیل داد، که در هر عمقی مساحت مقطع و پیرامون مرطوب در مقطع مستطیلی مذکور از مساحت

جدول ۲. مشخصات مثال‌های صحبت‌سنجدی مدل.

مثال	شکل مقطع	طول رودخانه	تعداد ایستگاه‌های مشاهداتی و محل آنها	شرط مرزی بالادست	شرط مرزی پایین دست	مشخصات مثال
اول (فرضی)	منظم و ذوزنقه‌ای	دو عدد در ۱۲۰۰ و ۳۸۰۰	هزار سطح آب نسبت به زمان، شکل ۴ - ب	هیدروگراف تراز سطح آب نسبت به زمان، شکل ۴ - الف	شکل ۴	روزی از ابتدای رودخانه
دوم (واقعی)	مقاطع واقعی بازه‌یی از رودخانه‌ی کوتای	دو عدد در ۴۴۰۰ و ۱۳۴۰۰	متری از ابتدای رودخانه	هیدروگراف شکل ۷ - الف	دبی - اشل شکل ۷ - ب	کیلومتر

جدول ۳. روابط هیدرولیکی شناسایی شده‌ی مثال فرضی.

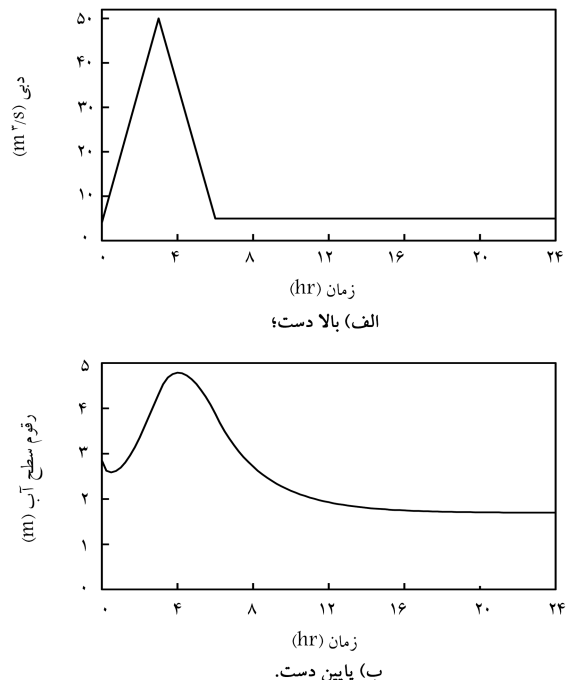
$$A_1 = 10^{10.03} (e^{0.4113y_1}) \quad A_2 = 7/55 (e^{0.409y_2})$$

$$P_1 = -24.7 (e^{-0.71y_1} - 1) \quad P_2 = -25.69 (e^{-0.57y_2} - 1)$$

جدول ۴. شاخص‌های آماری جهت ارزیابی مدل ارائه شده (مثال فرضی).

E (%)	MAE (m³/s)	RMSE (m³/s)	شاخص
۱۴.۴۴	۱/۴۱	۲۰/۸۱	روش ماسکینگام
۲/۲۱	۰/۲۷	۴/۵۵	مدل ارائه شده

با مقادیر کالیپره شده‌ی مذکور، روندیابی جریان به روشن ماسکینگام در رودخانه‌ی فرضی انجام شد. شاخص‌های آماری جذر میانگین مربعات خطای (RMSE)،<sup>۱۶</sup> شاخص میانگین خطای مطلق (MEA)<sup>۱۷</sup> و میانگین خطای نسی (E)<sup>۱۸</sup> جهت ارزیابی مدل در جدول ۴ ارائه شده‌اند. با توجه به شکل ۵، که نتایج حاصل از مقایسه‌ی روابط هیدرولیکی شناسایی شده و واقعی را نشان می‌دهد، به نظر می‌رسد توافقی مدل در تشخیص روابط هیدرولیکی مساحت سطح مقطع بهتر از تشخیص روابط هیدرولیکی پیامون مرتبط است. البته روابط مذکور به تنها بر کاربرد ندازند و صحبت عملکرد آن‌ها در مدل‌های هیدرولیکی مشخص می‌شود. در پژوهش حاضر، صحبت عملکرد روابط هیدرولیکی شناسایی شده در مدل روندیابی هیدرولیکی سنجیده شده‌است. شکل ۶، صحبت روابط شناسایی شده را در مدل روندیابی جریان نشان می‌دهد.



شکل ۴. شرایط مرزی رودخانه‌ی فرضی.

رقوم سطح آب انجام شده است. مشخصات دو مثال ارائه شده در جدول ۲ ارائه شده است.

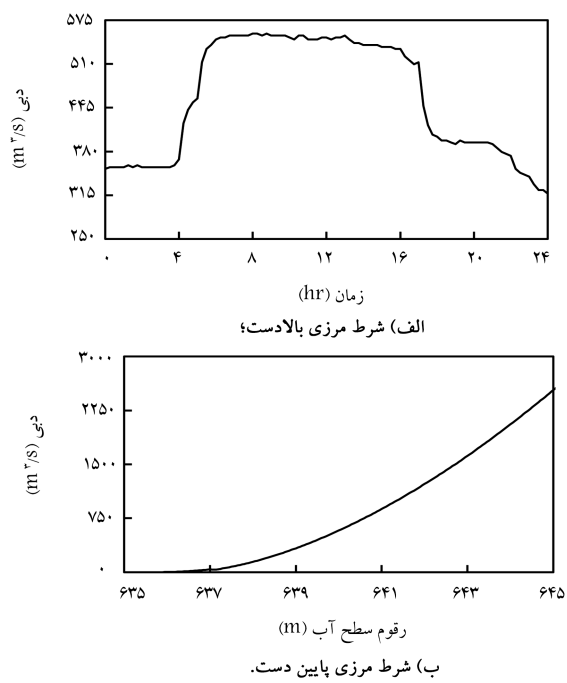
#### ۴. مثال اول (صحبت‌سنجدی مدل): رودخانه با سطح مقطع ذوزنقه‌یی (فرضی)

بر طبقی تئوری مدل ارائه شده، ابتدا رودخانه‌ی ذکر شده به دو زیربازه تقسیم شد و روابط ۹ الی ۱۱، برای هر زیربازه شناسایی شدند و به همراه روابط هیدرولیکی واقعی مستخرج از داده‌های مقاطع، در شکل ۵ و جدول ۳ مشاهده می‌شوند. همان‌طور که اشاره شد، رابطه‌ی ۱۱ یا رابطه‌ی هیدرولیکی عرض آزاد سطح آب، مشتق رابطه‌ی مساحت مقطع است، لذا از آوردن شکل و رابطه‌ی آن صرف نظر شده است. روندیابی جریان در رودخانه به ۳ روشن: هیدرولیکی (داده‌های مقاطع رودخانه)، هیدرولوژیکی (ماسکینگام) و روابط هیدرولیکی شناسایی شده (مدل معکوس ارائه شده در پژوهش حاضر) در شکل ۶ مشاهده می‌شود. ضرایب  $x$  و  $k$  موجود در روش هیدرولوژیکی ماسکینگام، در ابتدا با استفاده از ۳ هیدروگراف فرضی دیگر در بالادست و پایین دست بازه‌ی موردنظر کالیپره شدند،<sup>۲۵</sup> و سپس

#### ۵. نتایج و بحث

##### ۵.۱. مثال دوم: بازه‌یی از رودخانه‌ی کوتای

کیلومتر از بازه‌یی رودخانه‌ی کوتای<sup>۱۹</sup> واقع در امریکای شمالی، به منظور ارزیابی مدل ارائه شده با داده‌های واقعی مقاطع نامنظم انتخاب شده است. شماتیک بازه‌یی مذکور از رودخانه در شکل ۸ مشاهده می‌شود، که از مقطع ۲۲۱۲۳۸ تا مقطع ۲۱۰۵۶۴ (شماره‌ی مقاطع بر اساس سیستم USGS<sup>۲۰</sup> است) کشیده شده و مقطع عرضی برداشت شده دارد.<sup>۲۱</sup> ایستگاه اندازه‌گیری ۱۹۲۳۰ ۱۹۲۳ بعد از سد لیمی،<sup>۲۲</sup> در ابتدای بازه‌یی اخیر قرار دارد و شرط مرزی بالادست بازه‌ی انتخابی محسوب می‌شود. در این مثال فرض شده است که دو ایستگاه مشاهداتی در طول مسیر وجود داشته باشد، با توجه به عدم وجود ایستگاه اندازه‌گیری داده‌های رقوم سطح آب نسبت به زمان در طول بازه‌ی مذکور، با مدل‌سازی رودخانه در حالت



جدول ۵. روابط هیدرولیکی شناسایی شده مثال واقعی.

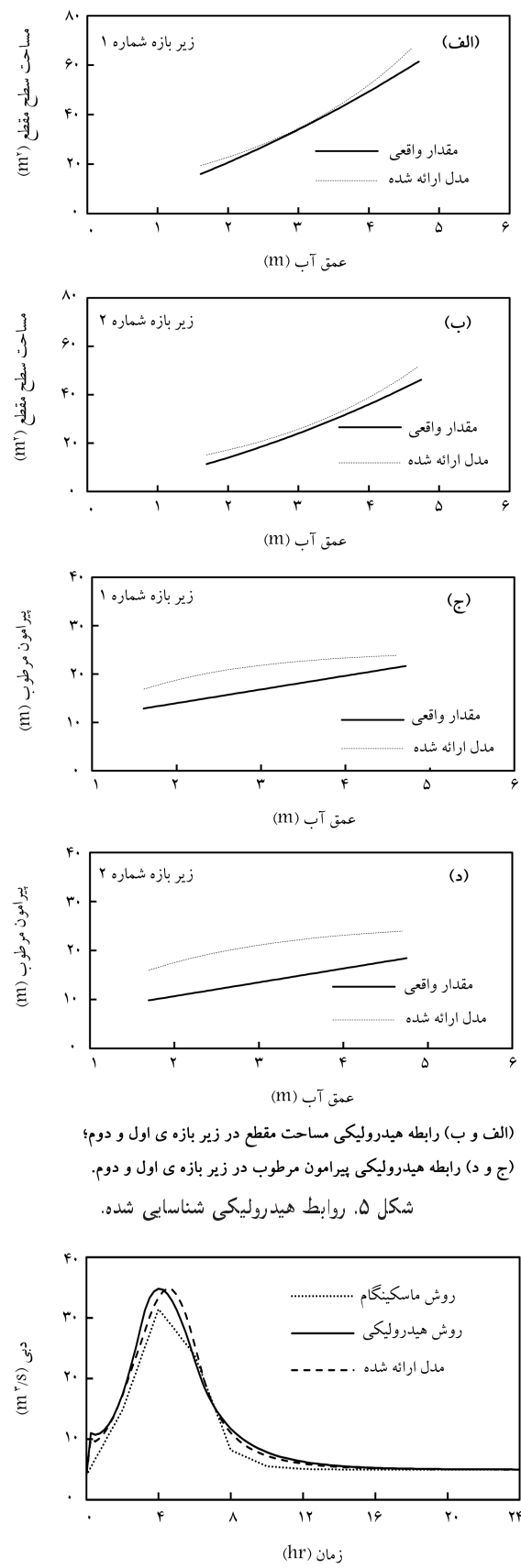
$$A_1 = 128/4 (e^{0/19y_1}) \quad A_2 = 123/4 (e^{0/22y_2})$$

$$P_1 = -20.2 (e^{-0/38y_1} - 1) \quad P_2 = -20.16 (e^{-0/56y_2} - 1)$$

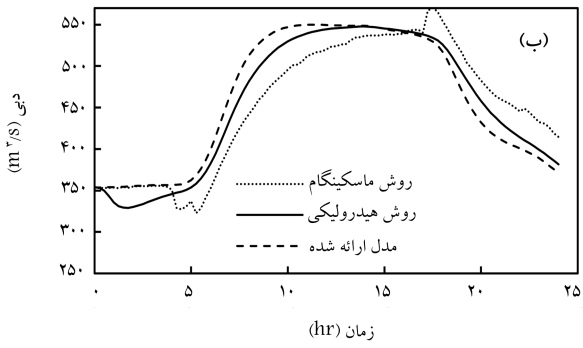
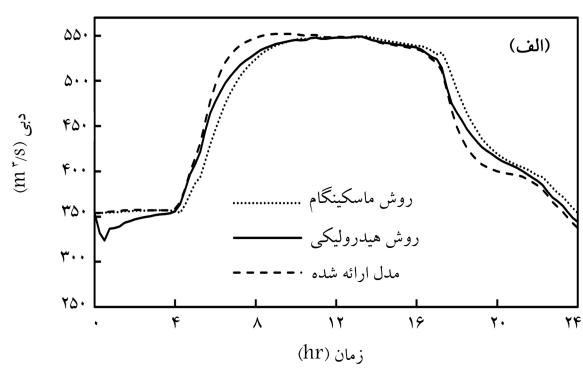
مستقیم، داده‌های موردنیاز در طول مسیر برداشت شده است. با فرض وجود دو ایستگاه مشاهداتی، ابتدا بازه‌ی مورد مطالعه به دو زیربازه تقسیم شد و روابط ۹ الی ۱۱، برای هر زیربازه شناسایی شدند. شکل ۸ و جدول ۵ روابط هیدرولیکی شناسایی شده به همراه میانگین روابط هیدرولیکی مستخرج از مقاطع را نشان می‌دهد. به منظور صحت‌سنجی روابط هیدرولیکی به دست آمده، روندیابی جریان در ۵ و ۱۵ کیلومتری از ابتدای رودخانه به ۳ روش: هیدرولیکی، ماسکینگام و مدل ارائه شده انجام شد (شکل ۱۰) لازم به توضیح است برای اخذ ضرایب  $x$  و  $k$  موجود در روش ماسکینگام، ابتدا ضرایب  $x$  و  $k$  در ۴ مکان مذکور کالیبره شدند و سپس با مقادیر به دست آمده، روندیابی جریان در رودخانه به روش هیدرولوژیکی انجام شده است. با توجه به اینکه روندیابی سیل به روش هیدرولیکی قادر به پیش‌بینی دو پارامتر دبی و تراز سطح آب است، نتایج حاصل از پیش‌بینی رقوم سطح آب نیز در شکل ۱۱ مشاهده می‌شود. این در حالی است که پارامتر تراز سطح آب قادر به پیش‌بینی توسط مدل هیدرولوژیکی ماسکینگام نخواهد بود و این یکی از مزیت‌های مدل حاضر است.

علاوه بر پیش‌بینی دبی رودخانه، مدل حاضر قادر به پیش‌بینی تراز سطح آب رودخانه نیز است. به عنوان نمونه، نتایج حاصل از پیش‌بینی رقوم سطح آب در ۹ و ۱۵ کیلومتری از ابتدای رودخانه به روش هیدرولیکی و مدل حاضر در شکل ۱۱ و جدول ۶ ارائه شده است. شاخص‌های آماری ارائه شده در جدول ۶، حاکی از توانایی مدل ارائه شده در تشخیص روابط هندسی - هیدرولیکی و صحت و کارایی روابط مذکور در مدل روندیابی جریان به روش هیدرولیکی است.

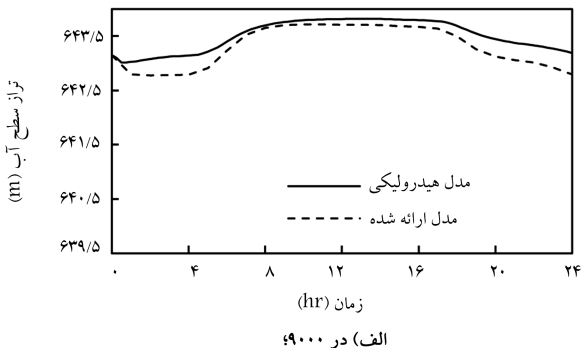
با توجه به نتایج حاصل از روندیابی جریان با استفاده از روابط هیدرولیکی به دست آمده در رودخانه با مقاطع نامنظم و واقعی، متوسط خطای  $56.78\%$  و



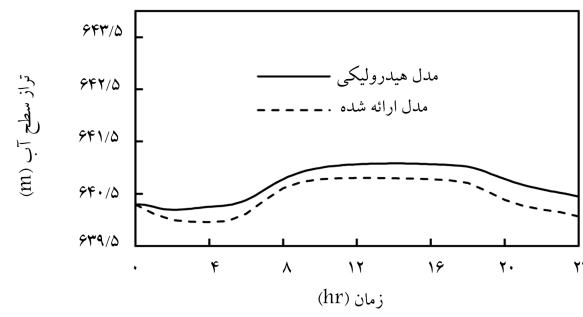
شکل ۶. روندیابی جریان در رودخانه به ۳ روش: هیدرولیکی، هیدرولوژیکی ( MASKIN-GAM ) و مدل معکوس ارائه شده.



شکل ۱۰. روندیابی جریان در ۵ و ۱۵ کیلومتری از ابتدای رودخانه.



(الف) در ۹۰۰۰

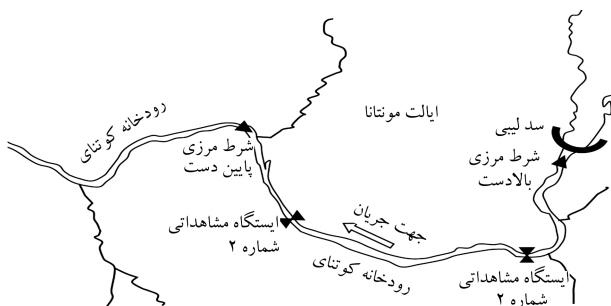


(ب) از ۱۵۰۰۰ m ابتدای رودخانه.

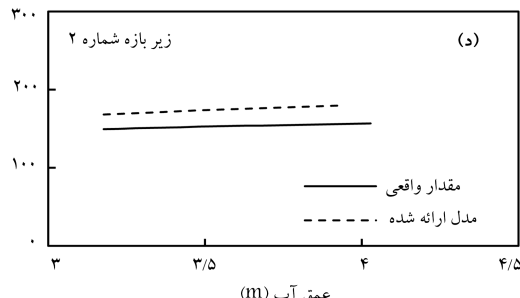
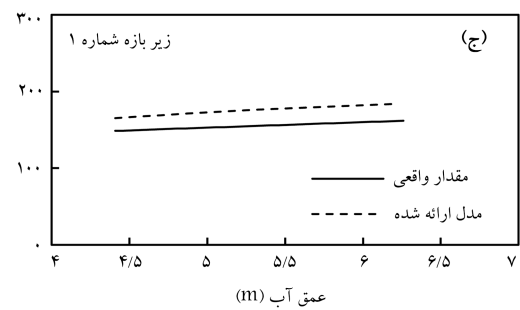
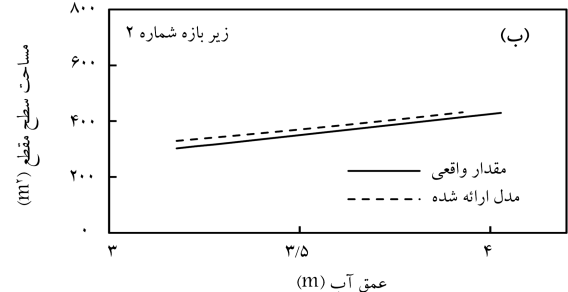
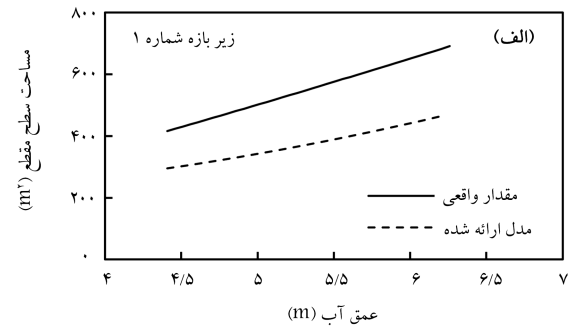
شکل ۱۱. پیش‌بینی رقوم سطح آب نسبت به زمان.

جدول ۶. شاخص‌های آماری به دست آمده به منظور مقایسه نتایج رقوم سطح آب حاصل از مدل ارائه شده و روش هیدرولیکی.

شاخص	E(%)	MAE (m)	RMSE (m)
مدل ارائه شده	۰/۰۶۷۸	۰/۴۳	۴/۵۷



شکل ۸. شماتیک بازه مورد شناسایی رودخانه کوتانای.



الف و ب) رابطه هیدرولیکی مساحت مقطع در زیر بازه‌ی اول و دوم؛  
ج و د) رابطه هیدرولیکی پیرامون مرطوب در زیر بازه‌ی اول و دوم.

شکل ۹. روابط هیدرولیکی شناسایی شده.

بالاتر می‌رود و می‌تواند روابط جامعه‌تری را برای هرزیر بازه ارائه دهد. لذا هر چه سیل بزرگ‌تری در بالادست واقع شود، روابط شناسایی شده جامعه‌تر خواهد بود و قابلیت تعیین برای سیل‌های کوچک‌تر را نیز خواهند داشت. این روابط کاربردهای زیاد دارند و می‌توانند در انواع مدل‌های هیدرولیکی، هیدرولیک رسوب، انتقال آبینه و شبیه‌سازی زیستگاه آبریان استفاده شوند. در پژوهش حاضر پس از شناسایی روابط هیدرولیکی مذکور، صحبت عملکرد آن‌ها در روندیابی سیل ارزیابی شده و با روندیابی سیل به روش هیدرولیکی و هیدرولوژیکی (ماسکینگام) مقایسه صورت گرفته است. روندیابی سیل در رودخانه به دو روش هیدرولیکی و هیدرولوژیکی انجام می‌گیرد. روش‌های هیدرولیکی، نیازمند مقاطع عرضی رودخانه هستند و دقت پرهزینه‌ی داده‌های مقاطع عرضی، با استفاده از علم مسئله‌ی معکوس، در یک رودخانه با مقاطع عرضی نامنظم و غیرمنتوری شناسایی شده‌اند. به منظور شناسایی روابط هیدرولیکی بازه‌ی از رودخانه، باید شبیه بازه، شرایط مرزی و همچنین رقوم سطح آب نسبت به زمان و عرض رودخانه در بیشینه و کمینه‌ی عمق آب در وسط هر زیربازه معلوم باشد. همان‌طورکه اشاره شد، اندازه‌گیری چنین داده‌هایی به مراتب ساده‌تر از نقشه‌برداری جهت برداشت داده‌های مقاطع عرضی رودخانه خواهد بود. علاوه‌بر این، روابط هیدرولیکی ذکر شده فقط در محدوده‌ی معین از تغییرات عمق آب درون مقطع می‌توانند مشخص و شناسایی شوند. به عبارت ساده‌تر، روابط شناسایی شده فقط در محدوده‌ی صادقاند که تغییرات عمق آب در مقطع صورت بگیرد و هر چه فاصله بین عمق بیشینه و کمینه در مقطع بیشتر باشد، توان شناسایی مدل

۲/۸۶ درصد در تشخیص تراز سطح آب و دبی به دست آمده است. هر چه تعداد زیربازه‌های مورد شناسایی بیشتر باشد، توانایی مدل در تشخیص و شناسایی روابط هیدرولیکی بیشتر می‌شود و در حقیقت دقت مدل بالاتر می‌رود.

## ۶. نتیجه‌گیری

روابط هیدرولیکی مساحت مقطع، پیرامون مرطوب، و عرض آزاد سطح آب، روابط مستخرج از مقاطع عرضی رودخانه هستند، که در پژوهش حاضر بدن نیاز به برداشت پرهزینه‌ی داده‌های مقاطع عرضی، با استفاده از علم مسئله‌ی معکوس، در یک رودخانه با مقاطع عرضی نامنظم و غیرمنتوری شناسایی شده‌اند. به منظور شناسایی روابط هیدرولیکی بازه‌ی از رودخانه، باید شبیه بازه، شرایط مرزی و همچنین رقوم سطح آب نسبت به زمان و عرض رودخانه در بیشینه و کمینه‌ی عمق آب در وسط هر زیربازه معلوم باشد. همان‌طورکه اشاره شد، اندازه‌گیری چنین داده‌هایی به مراتب ساده‌تر از نقشه‌برداری جهت برداشت داده‌های مقاطع عرضی رودخانه خواهد بود. علاوه‌بر این، روابط هیدرولیکی ذکر شده فقط در محدوده‌ی معین از تغییرات عمق آب درون مقطع می‌توانند مشخص و شناسایی شوند. به عبارت ساده‌تر، روابط شناسایی شده فقط در محدوده‌ی صادقاند که تغییرات عمق آب در مقطع صورت بگیرد و هر چه فاصله بین عمق بیشینه و کمینه در مقطع بیشتر باشد، توان شناسایی مدل

## پابنوشت‌ها

1. Huygens
2. Datta et al.
3. sequential quadratic problem
4. Becker and Yeh
5. Wormleaton & Karmegam
6. Abida
7. Wut
8. Gesesse and Sellier
9. Stewardson
10. Rose
11. Gesesse and Sellier
12. Preissmann
13. sequential quadratic programming
14. quadratic programming
15. lagrange
16. root mean square error
17. mean absolute error
18. error
19. Kootenay
20. united states geological survey
21. Libby dam

## منابع (References)

1. Jian-hua, W. and Bo, F. "Inverse problem of bottom slope design for aerator devices", *J. of Hydraulics*,

- 25(5), pp. 805-808 (2013).
2. Hansen, P.C. "Rank-deficient and discrete ill-posed problems", *Numerical Aspects of Linear Inversion*, Philadelphia, SIAM (1998).
3. Datta, B., Ramesh, R., Bhallamudi, S.M. and et al. "Optimal estimation of roughness in open-channel flows", *J. of Hyd. Eng.*, 126(4), pp. 299-303 (2000).
4. Fread, D.L. and Smith, G.G. "Calibration techniques for 1-D unsteady flow models", *J. of Hydraulic. Div.*, 104(7), pp. 1027-1044 (1978).
5. Wasantha Lal, A.M. "Calibration of river bed roughness", *J. of Hydraulic. Eng.*, 121(9), pp. 664-671 (1995).
6. Khatibi, R.H., Williams, J.J.R. and Wormleaton, P.R. "Identification problem of open channel friction parameters", *J. of Hydraulic. Eng.*, 123(12), pp. 1078-1088 (1997).
7. Ding, Y. and Wang, S. "Identification of manning's roughness coefficients in channel network using adjoint analysis", *Int. J. of Com. F. Dyn.*, 19(1), pp. 1-11 (2004).
8. Nguyen, H.T. and Fenton, J.D. "Identification of roughness in compound channels", *In MODSIM 2005 International congress on modelling and simulation*, Modelling and Simulation Society of Australia and New Zealand, pp. 2512-2518 (2005).
9. Kadhim, N.K. and Abdulwahid, M.H. "Application of inverse routing methods to euphrates", *Int. J. of Civil. Eng. and Tec.*, 4(1), pp. 97-109 (2013).

- ۴۲
10. Cunge, J.A., Holly, F.M. and Verwey, A., *Practical Aspects of Computational River Hydraulics*, Boston (1980).
  11. Szymkiewicz, R. "Solution of the inverse problem for the saint-venant equations", *J. of Hydrology*, **147**(1-4), pp. 105-120 (1993).
  12. Szymkiewicz, R. "Application of the simplified models to inverse flood routing in upper narew river (Poland)", *Publications of the Institute of Geophysics, Polish Academy of Sciences*, **405**, pp. 121-135 (2008).
  13. Wu, Q., Rafiee, M., Tinka, A. and et al. "Inverse modeling for open boundary conditions in channel network", *48th IEEE Conference on Decision and Control* (2009).
  14. D'Oria, M., Mignosa, P. and Giovanna Tanda, M. "Bayesian estimation of inflow hydrographs in ungauged sites of multiple", *Water Resources Research*, **63**, pp. 143-151 (2014).
  15. Becker, L. and Yeh, W. "Identification of parameters in unsteady open channel flow", *Water Resources Research*, **8**(4), pp. 956-965 (1972).
  16. Becker, L. and Yeh, W. "Identification of multiple reach channel parameter", *Water Resources Research*, **9**(2), pp. 326-335 (1973).
  17. Wormleaton, P.R. and Karmegam, M. "Parameter optimization in flood routing", *J. of Hydraulic Eng.*, **110**(12), pp. 1799-1814 (1984).
  18. Abida, H. "Identification of compound channel flow parameter", *J. of Hydrology. Hydromechanics*, **57**(3), pp. 172-181 (2009).
  19. Wut, Q., Saurabh, A., Simon, M. and et al. "Parameter identification for the shallow water equations", *46th IEEE Conference on Decision and Control*, pp. 1584-1590 (2009).
  20. Gessese, A. and Sellier, M. "A direct solution approach to the inverse shallow-water problem", *Mathematical Problems in Engineering*, **2012**(11) (2012).
  21. Stewardson, M. "Hydraulic geometry of stream reaches", *J. of Hydrology*, **306**(1-4), pp. 97-111 (2005).
  22. De Rose, R.C., Stewardson, M.J. and Harman, C. "Downstream hydraulic geometry of rivers in victoria, Australia", *Geomorphology*, **99**(1), pp. 302-316 (2008).
  23. Richard, C.A., Borchers, B. and Thurber, C., *Parameter Estimation and Inverse Problems*, Academic Press (2004).
  24. Wu, W. "Computational river dynamics", *CRC Press, Leiden Netherlands*, (2008).
  25. Henderson, F.M. "Open Channel flow", New-York, Springer (1966).
  26. Brayton, R., Director, S.W., Hachtel, G.D. and et al. "A new algorithm for statistical circuit design based on quasi-newton methods and function splitting", *IEEE Trans. Circuits and Systems*, **26**(9), pp. 784-794 (1979).
  27. Barton, G.J., Moran, E.H. and Berenbrock, C. "Surveying cross sections of the Kootenai river between Libby dam, montana, and kootenay lake, British Columbia, Canada", Cooperation with U.S. Army Corps of Engineers, Idaho Department of Fish and Game, and Koote-nai Tribe of Idaho, pp. 2331-1258 (2004).